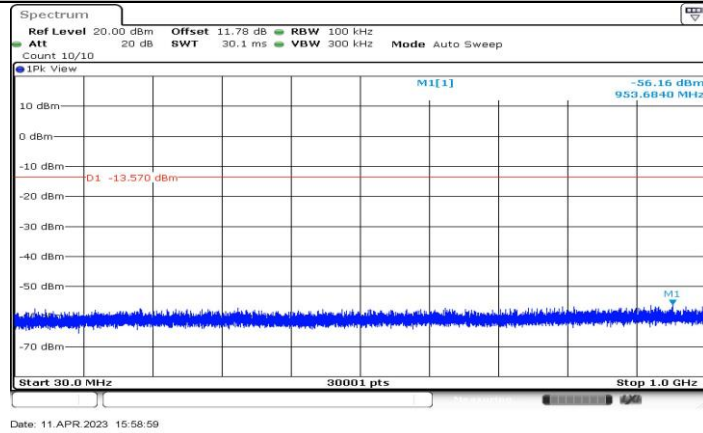
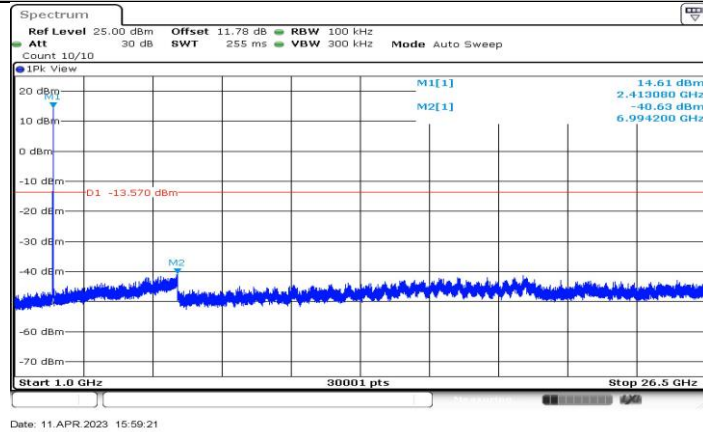


11B-CDD\_Ant3\_2412\_0~Reference



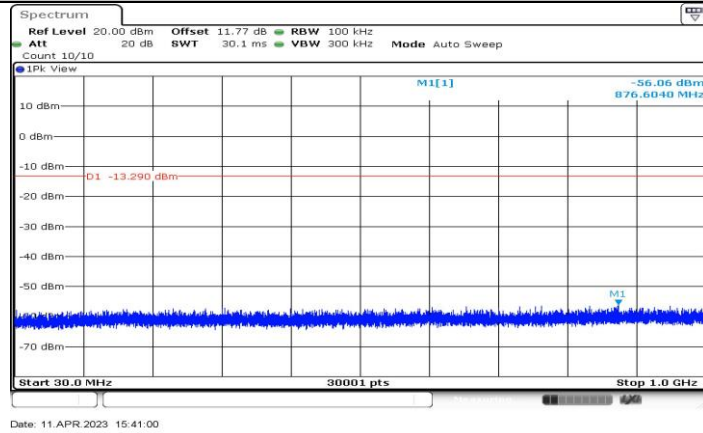
11B-CDD\_Ant3\_2412\_30~1000



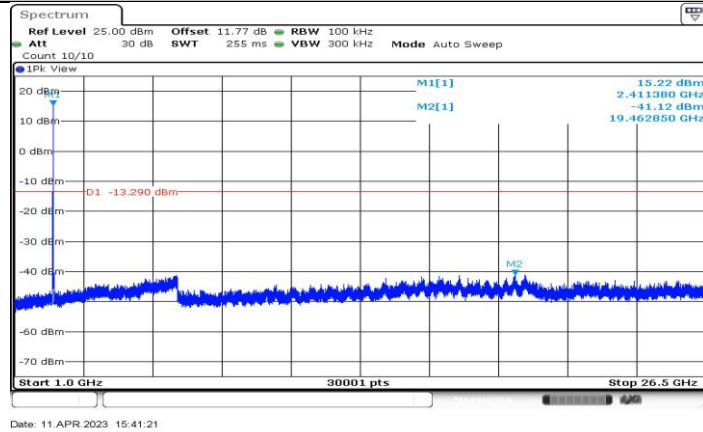
11B-CDD\_Ant3\_2412\_1000~26500



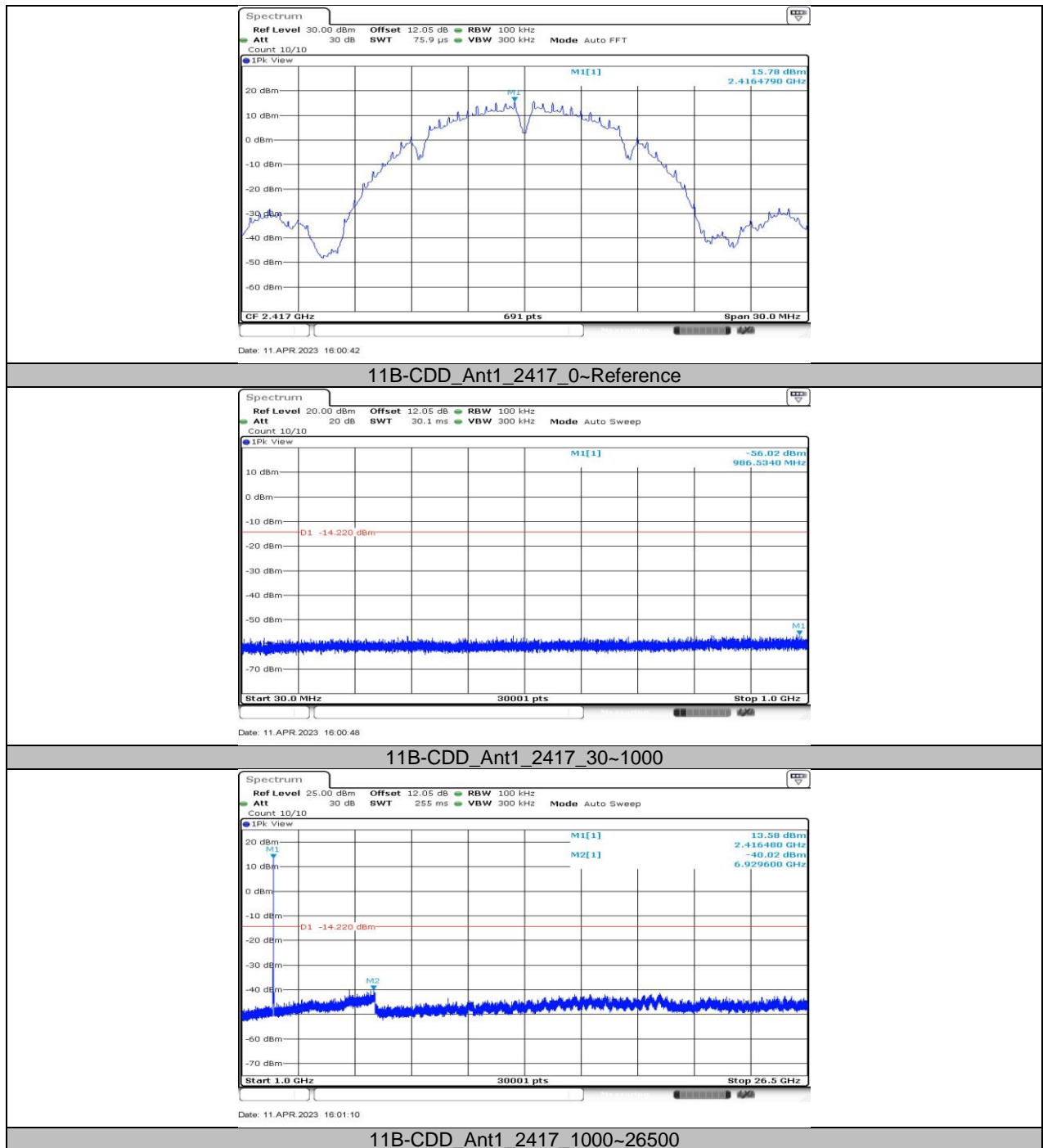
11B-CDD\_Ant4\_2412\_0~Reference

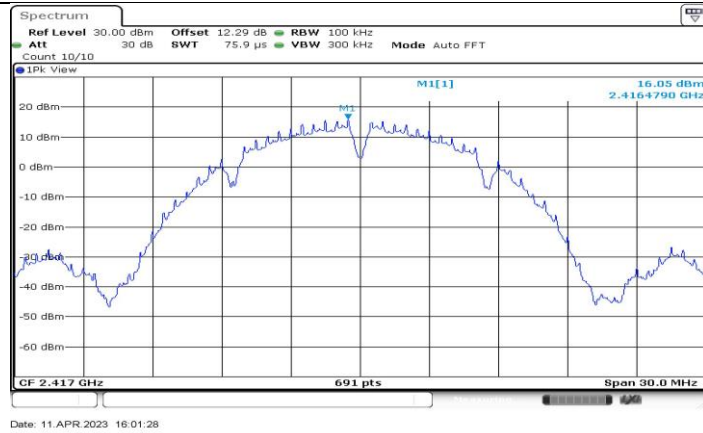


11B-CDD\_Ant4\_2412\_30~1000

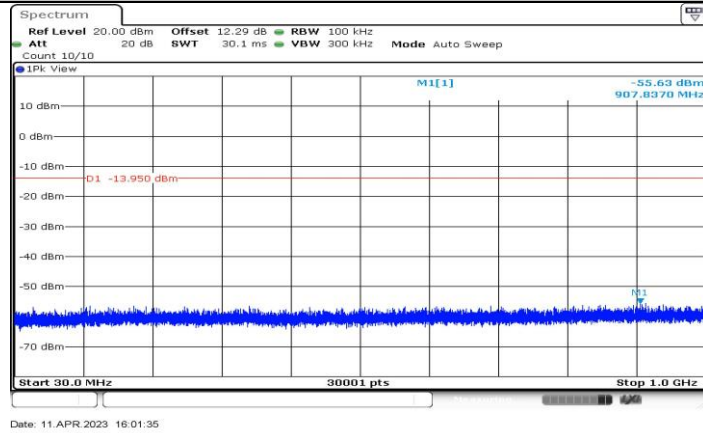


11B-CDD\_Ant4\_2412\_1000~26500

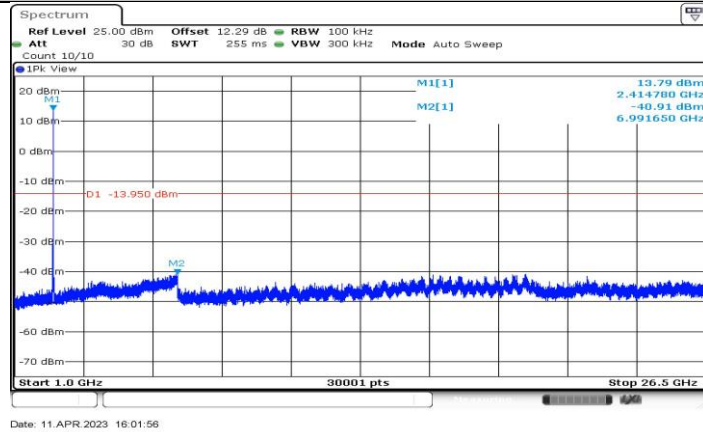




11B-CDD\_Ant2\_2417\_0~Reference



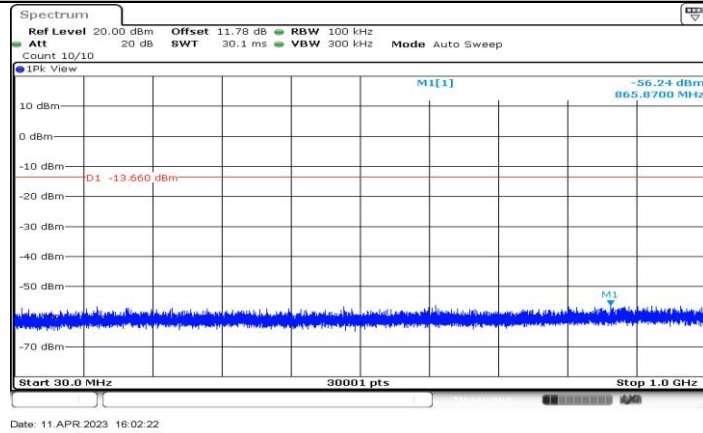
11B-CDD\_Ant2\_2417\_30~1000



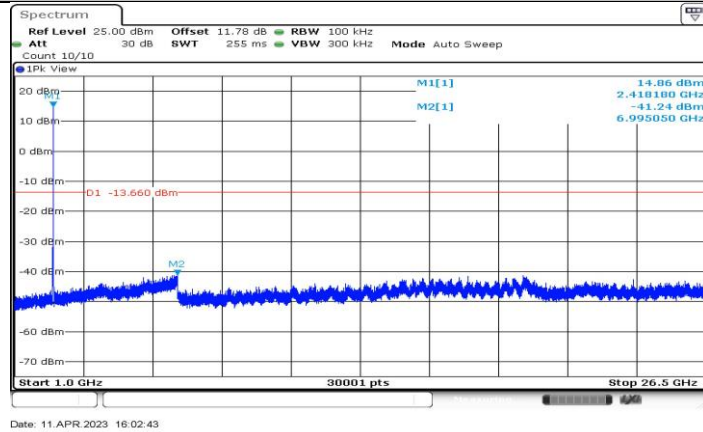
11B-CDD\_Ant2\_2417\_1000~26500



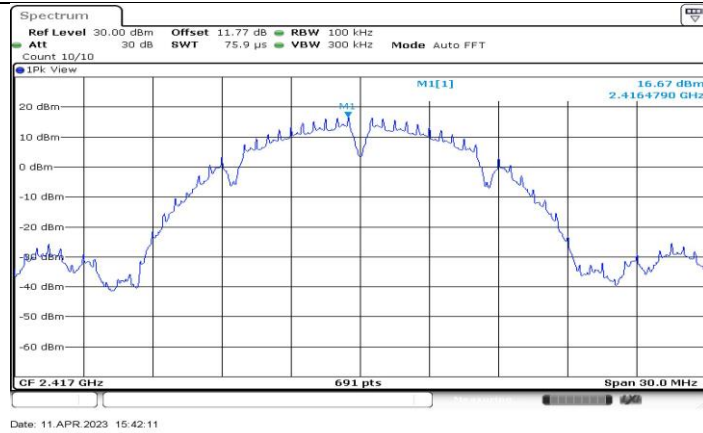
11B-CDD\_Ant3\_2417\_0~Reference



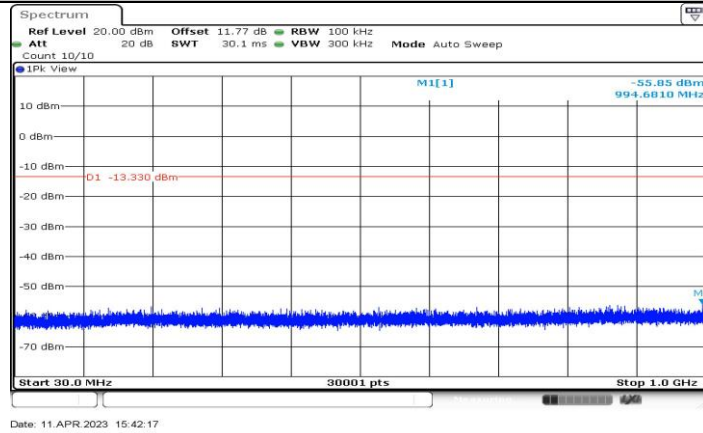
11B-CDD\_Ant3\_2417\_30~1000



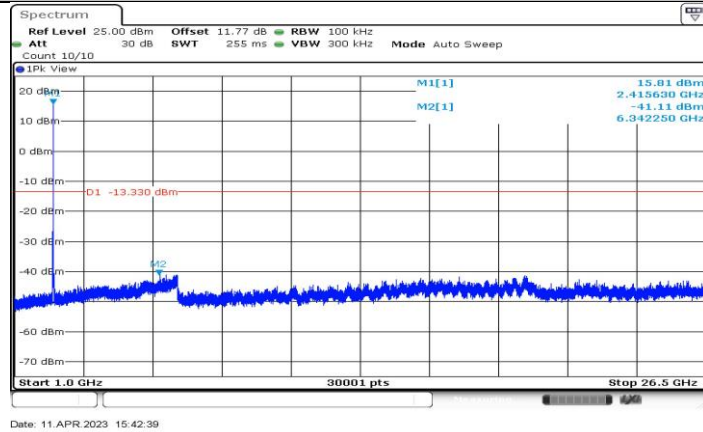
11B-CDD\_Ant3\_2417\_1000~26500



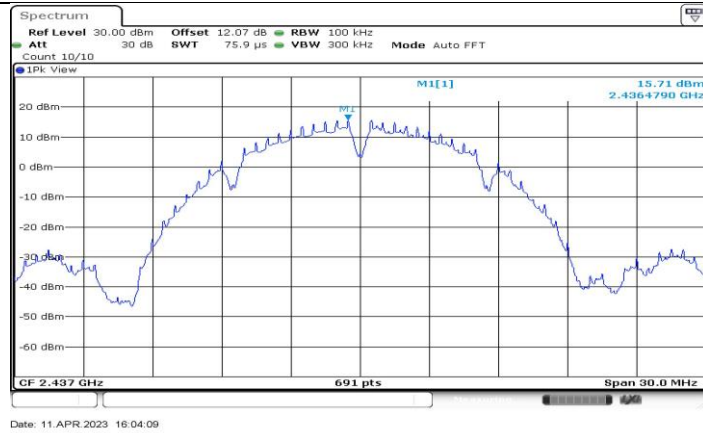
11B-CDD\_Ant4\_2417\_0~Reference



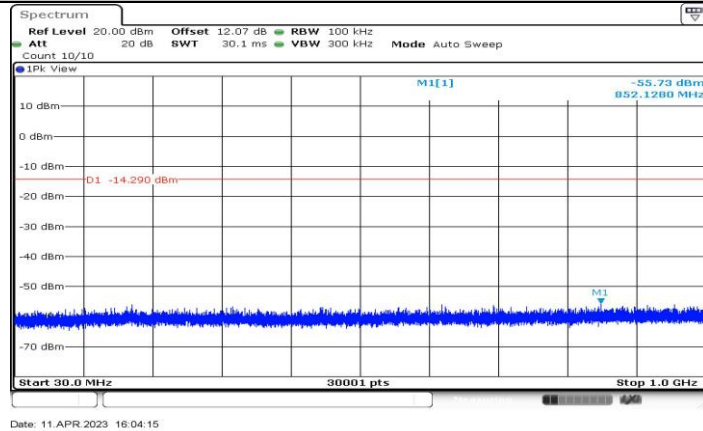
11B-CDD\_Ant4\_2417\_30~1000



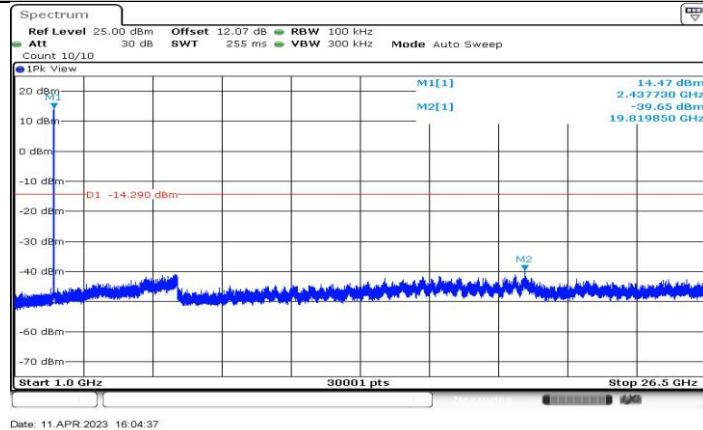
11B-CDD\_Ant4\_2417\_1000~26500



11B-CDD\_Ant1\_2437\_0~Reference

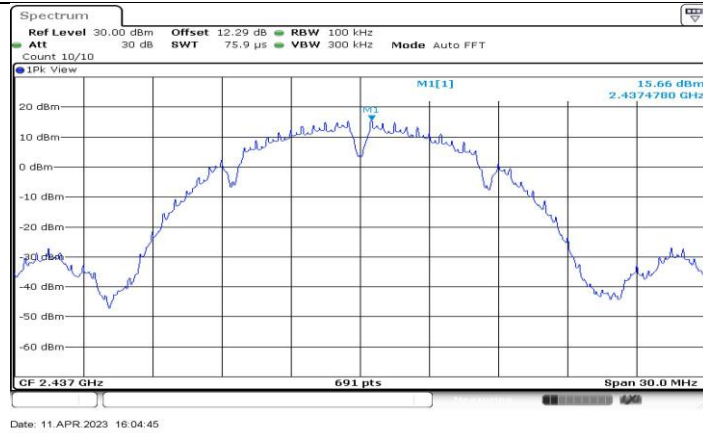


11B-CDD\_Ant1\_2437\_30~1000

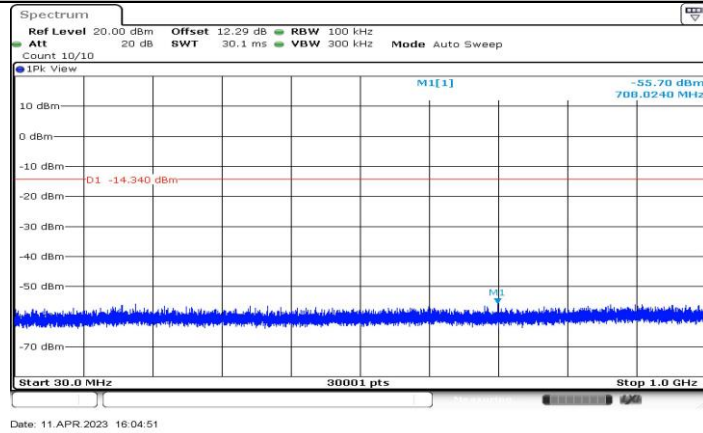


11B-CDD\_Ant1\_2437\_1000~26500

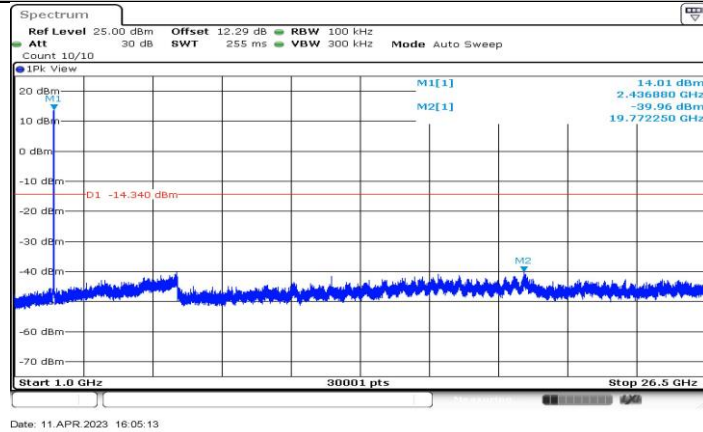




11B-CDD\_Ant2\_2437\_0~Reference

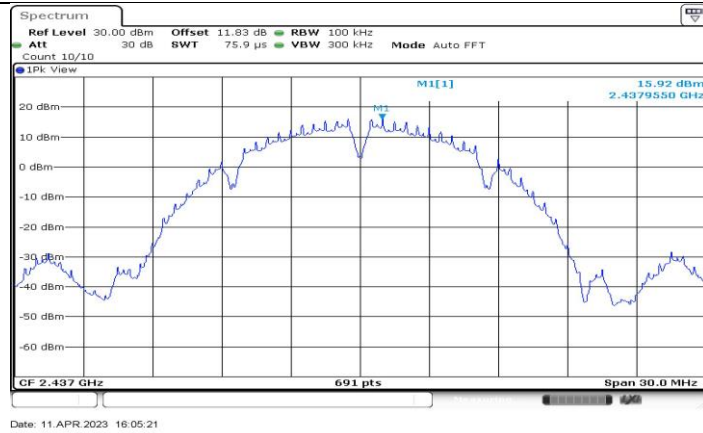


11B-CDD\_Ant2\_2437\_30~1000

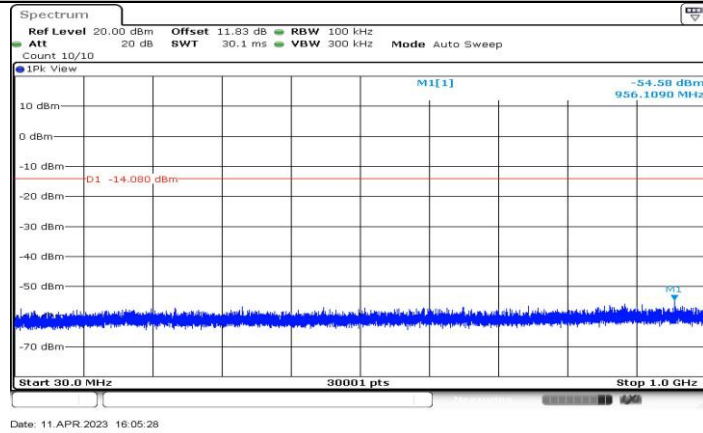


11B-CDD\_Ant2\_2437\_1000~26500

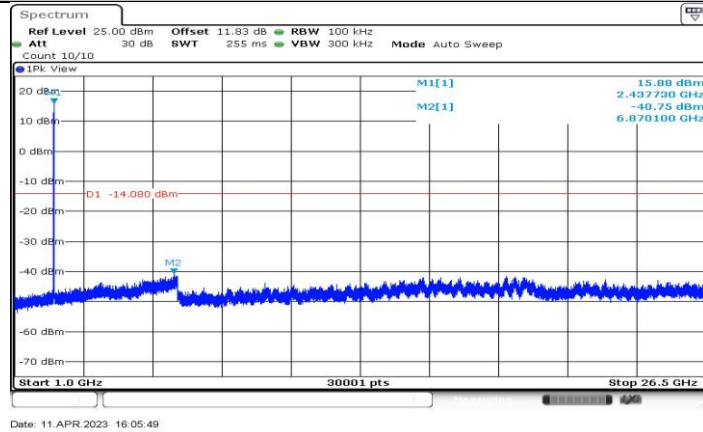




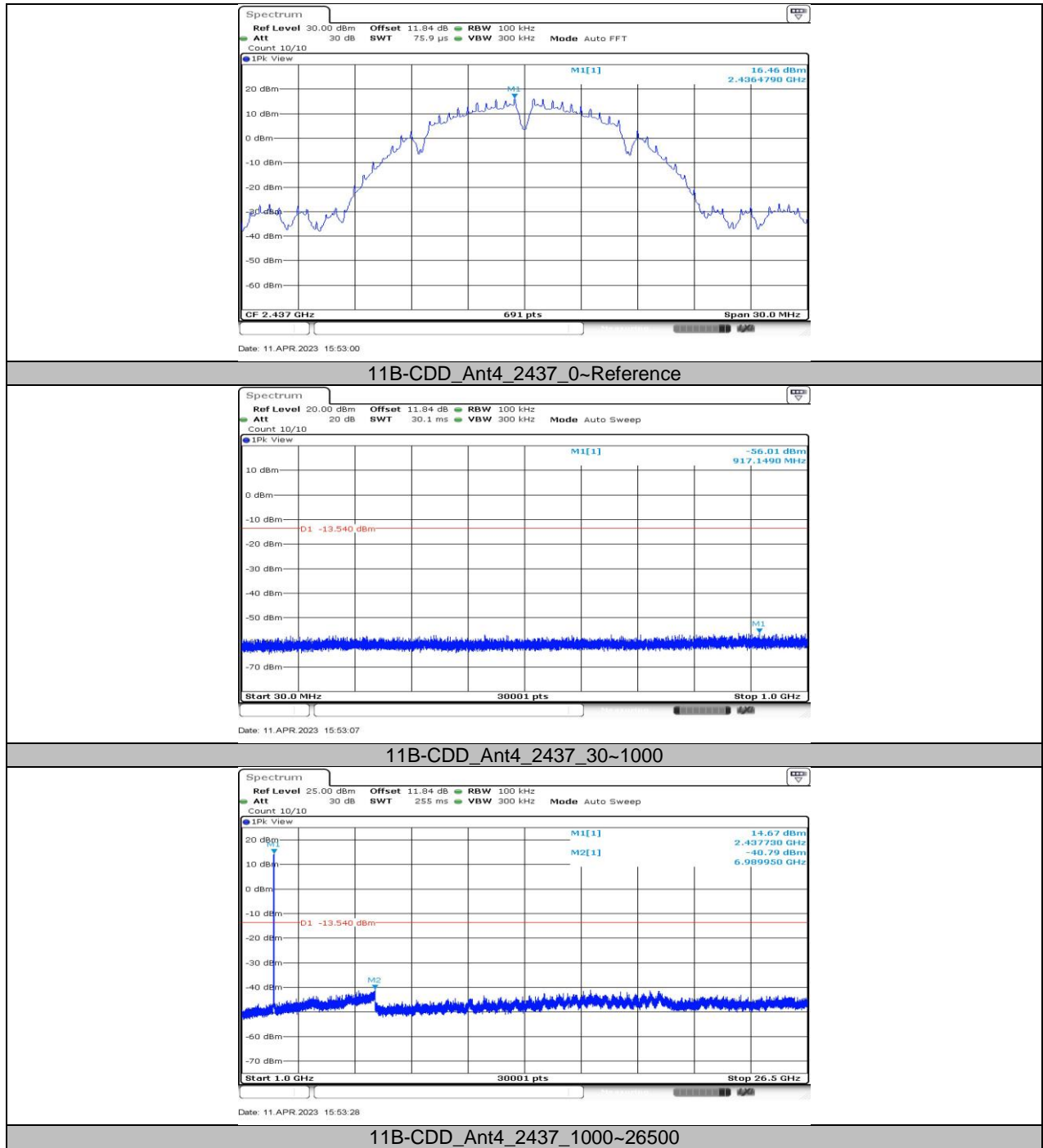
11B-CDD\_Ant3\_2437\_0~Reference

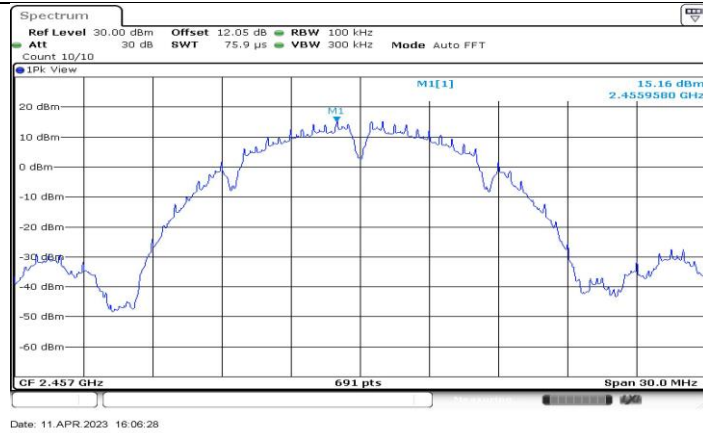


11B-CDD\_Ant3\_2437\_30~1000

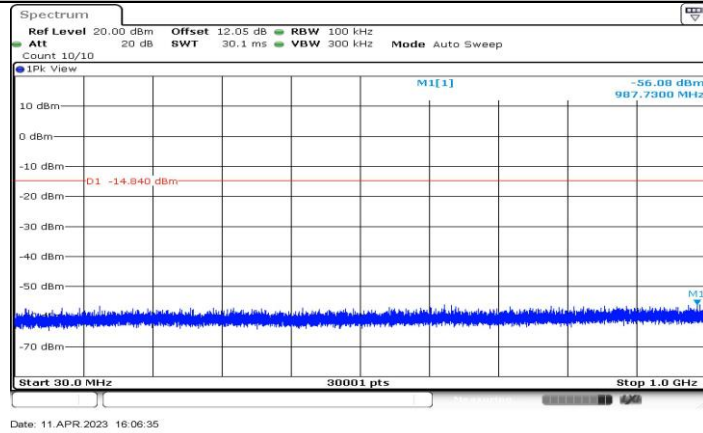


11B-CDD\_Ant3\_2437\_1000~26500

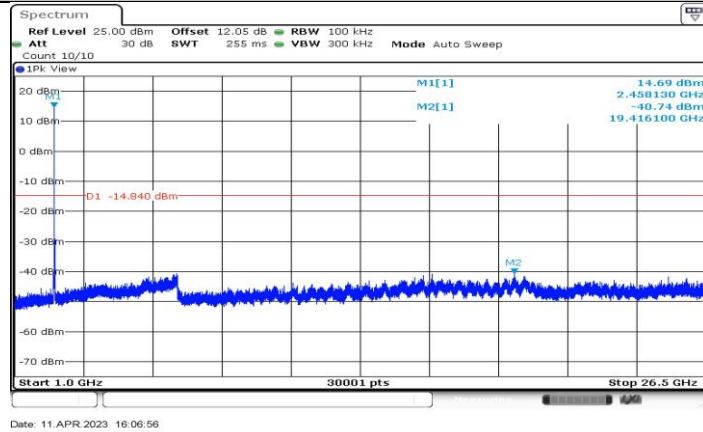




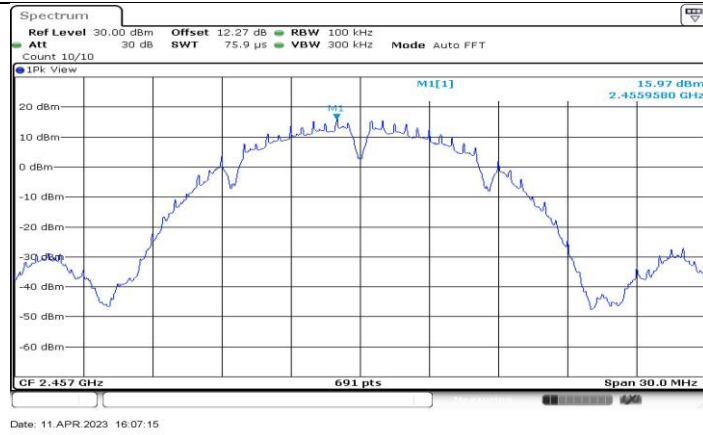
11B-CDD\_Ant1\_2457\_0~Reference



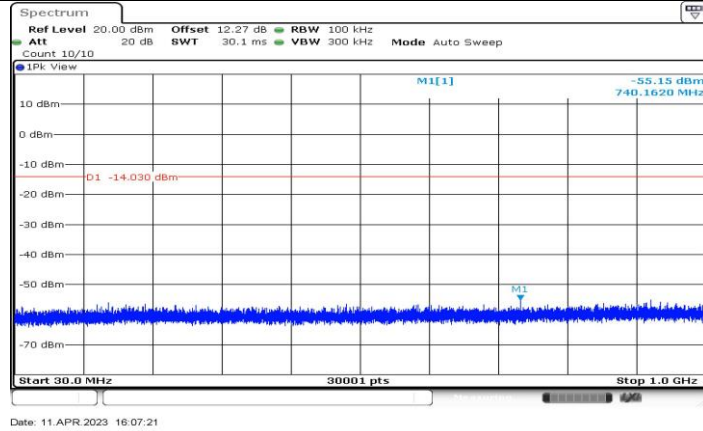
11B-CDD\_Ant1\_2457\_30~1000



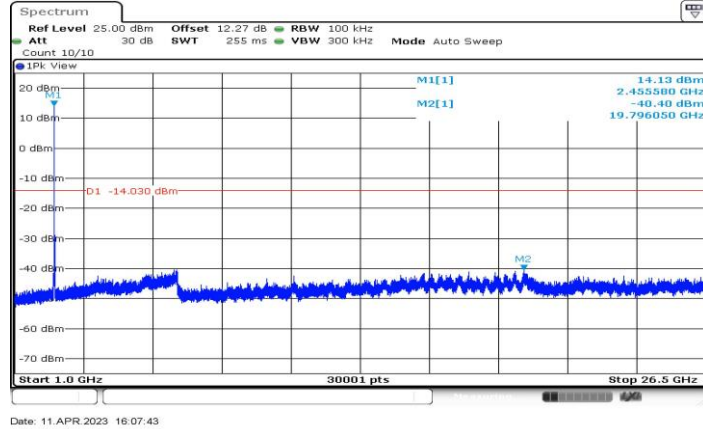
11B-CDD\_Ant1\_2457\_1000~26500



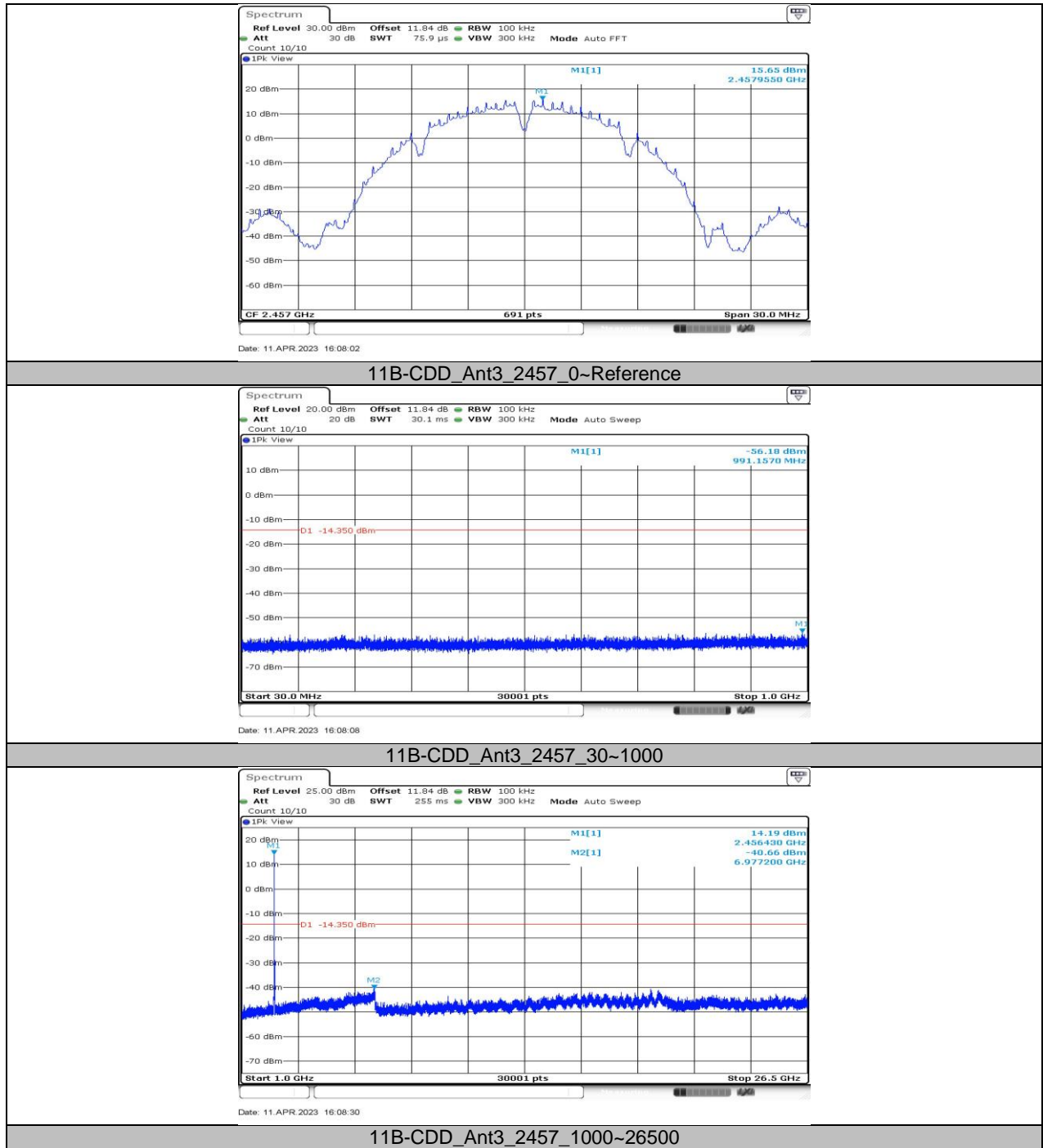
11B-CDD\_Ant2\_2457\_0~Reference

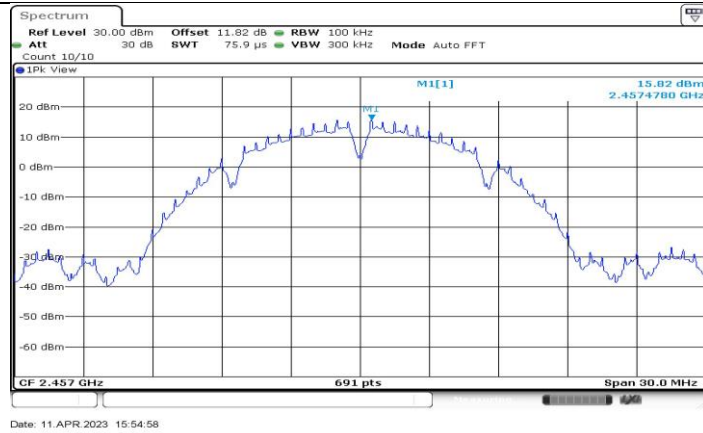


11B-CDD\_Ant2\_2457\_30~1000

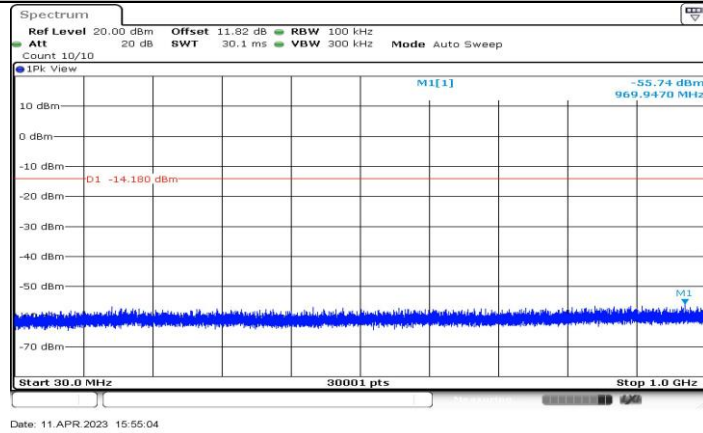


11B-CDD\_Ant2\_2457\_1000~26500

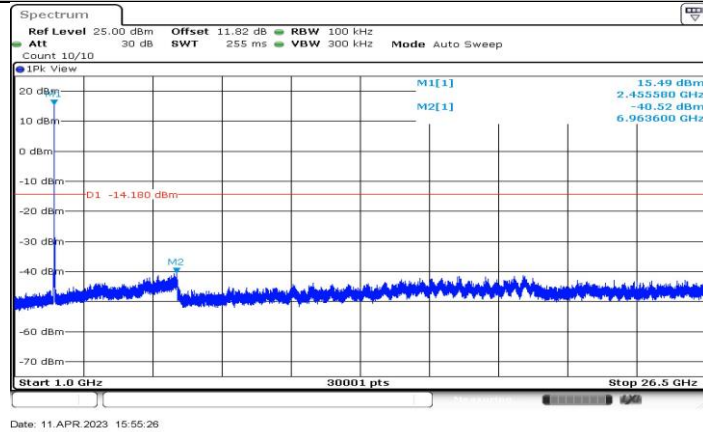




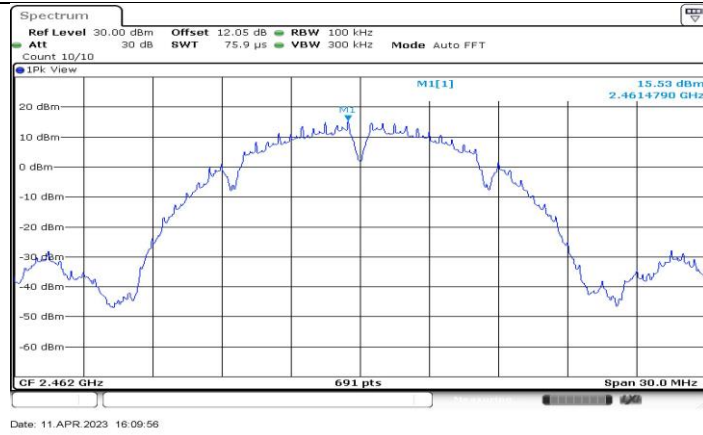
11B-CDD\_Ant4\_2457\_0~Reference



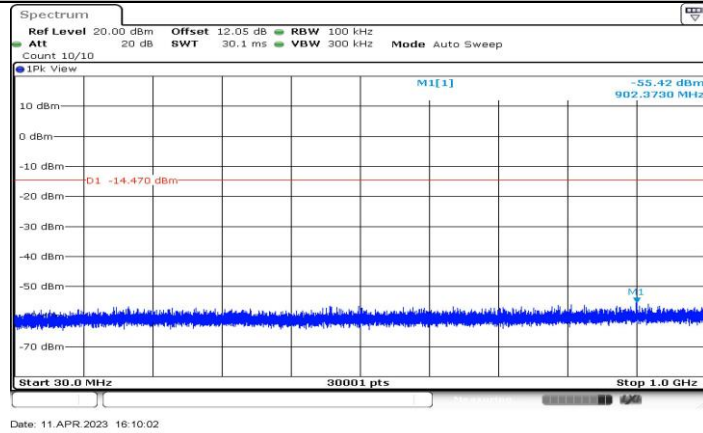
11B-CDD\_Ant4\_2457\_30~1000



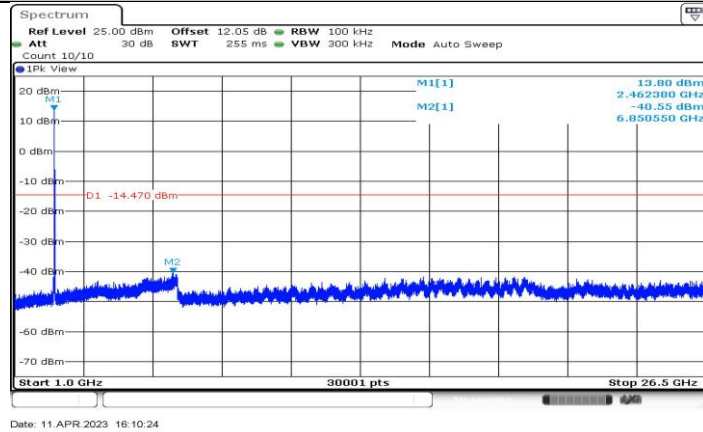
11B-CDD\_Ant4\_2457\_1000~26500



11B-CDD\_Ant1\_2462\_0~Reference

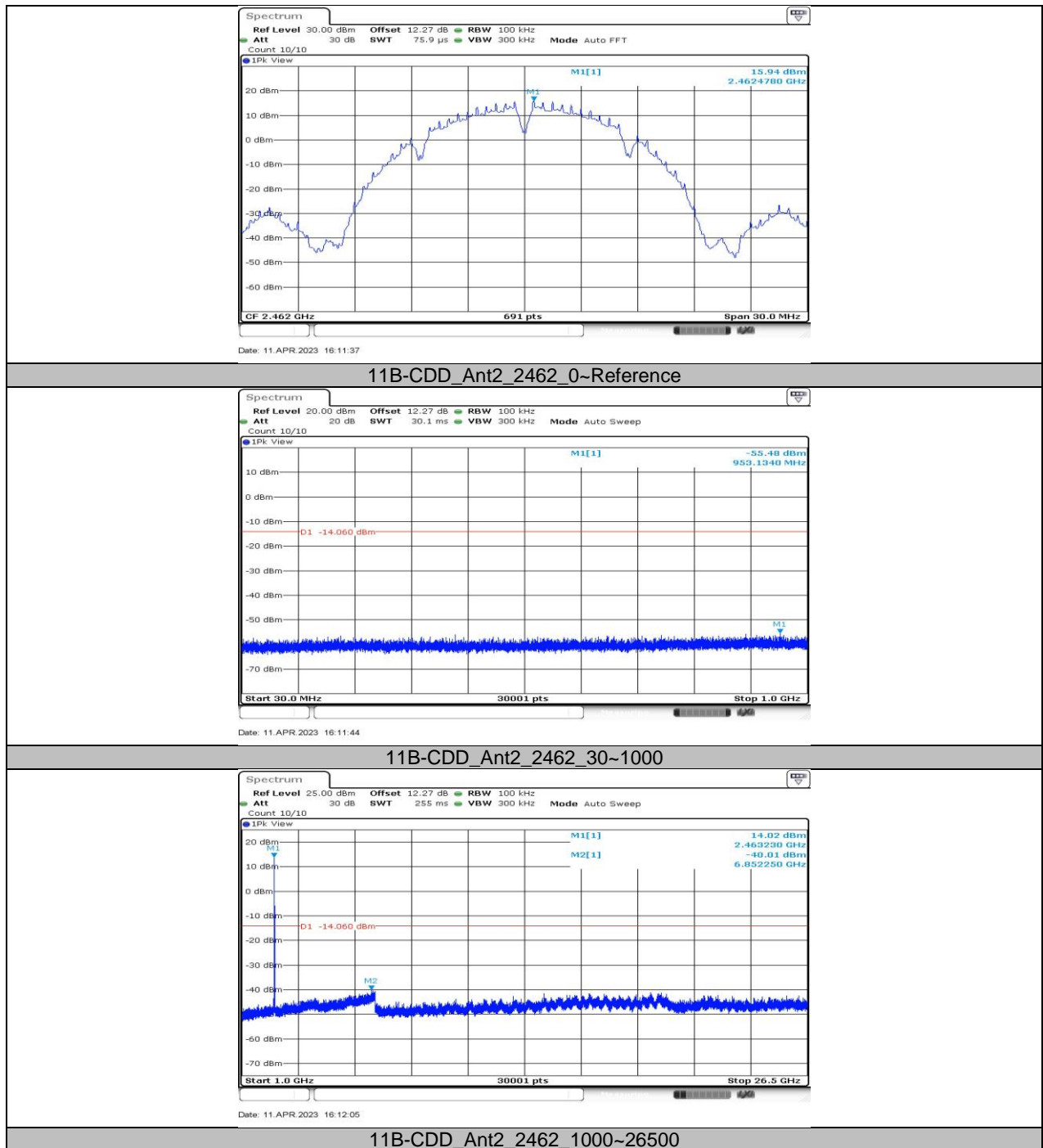


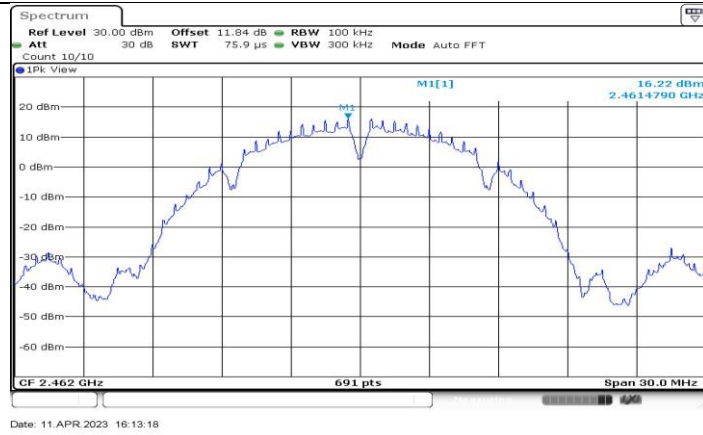
11B-CDD\_Ant1\_2462\_30~1000



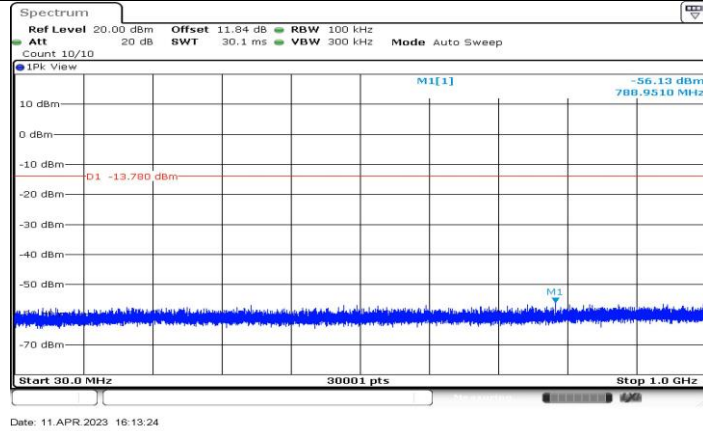
11B-CDD\_Ant1\_2462\_1000~26500



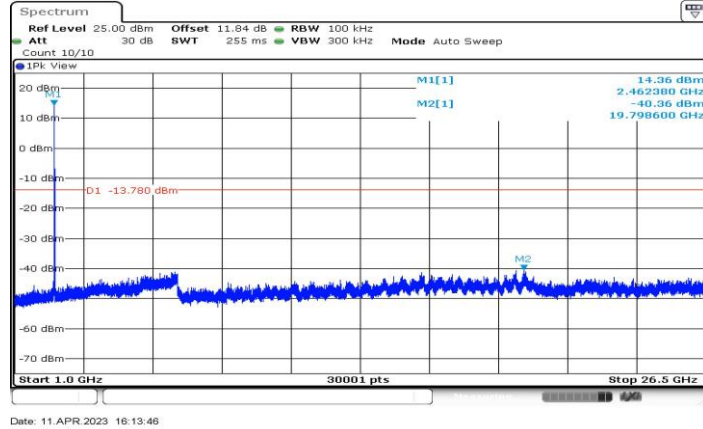




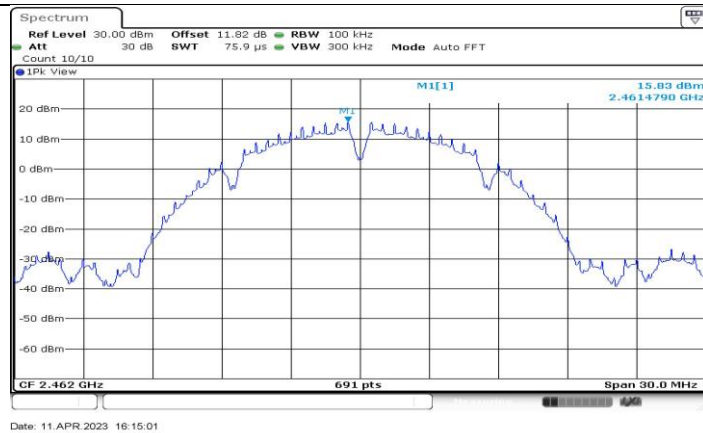
11B-CDD\_Ant3\_2462\_0~Reference



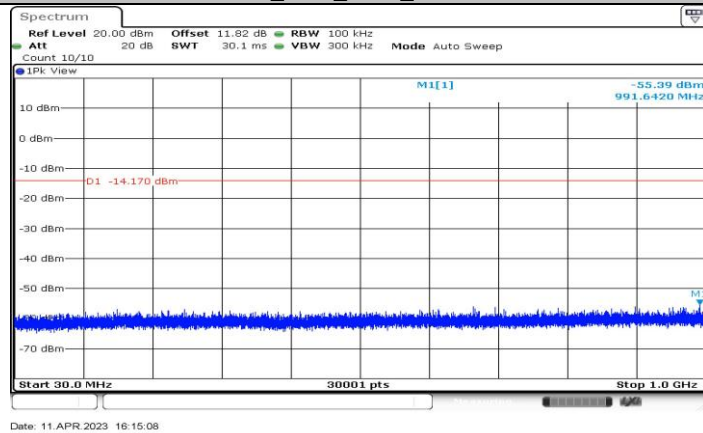
11B-CDD\_Ant3\_2462\_30~1000



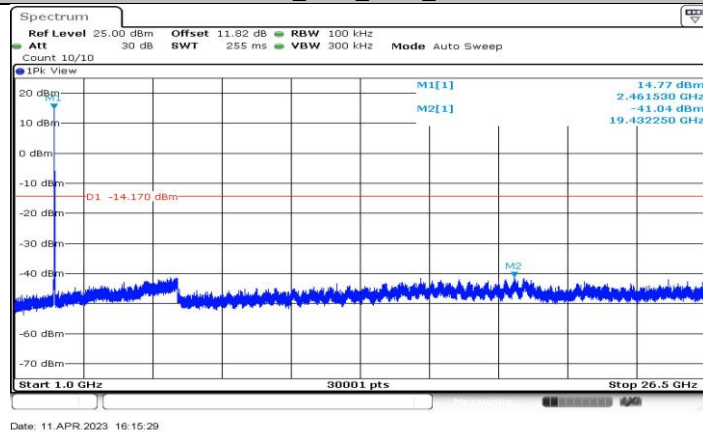
11B-CDD\_Ant3\_2462\_1000~26500



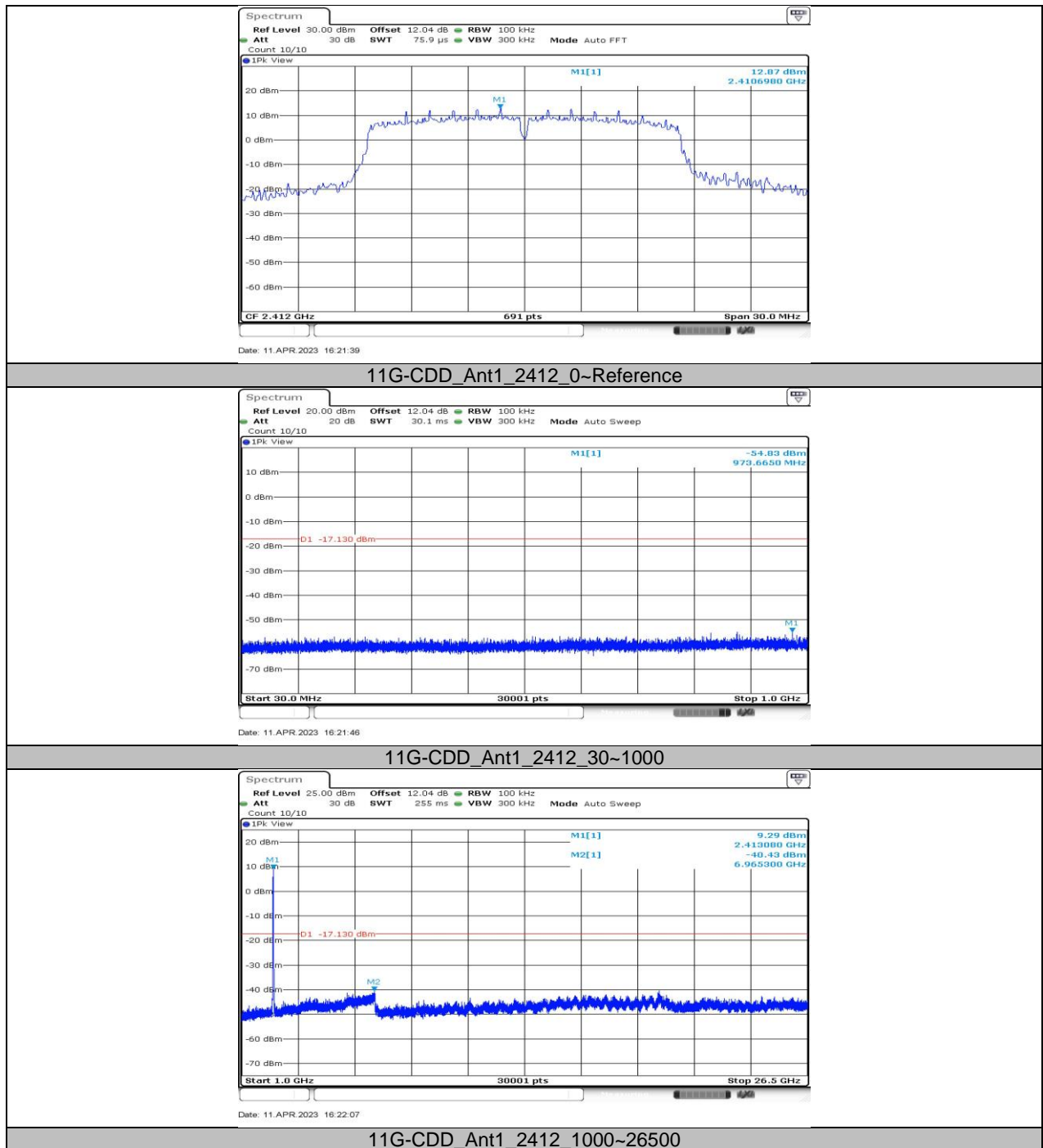
11B-CDD\_Ant4\_2462\_0~Reference

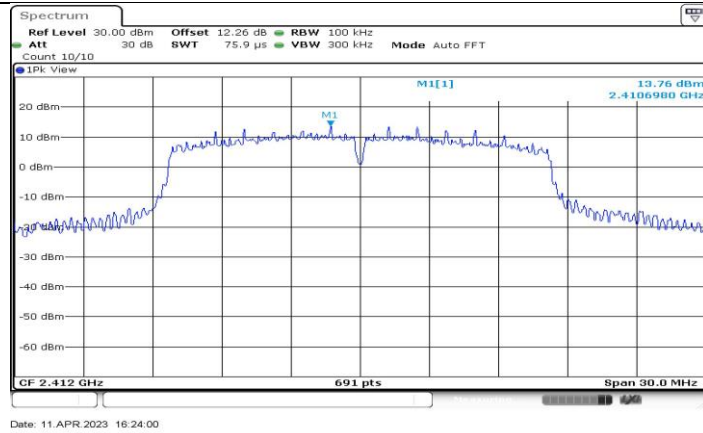


11B-CDD\_Ant4\_2462\_30~1000

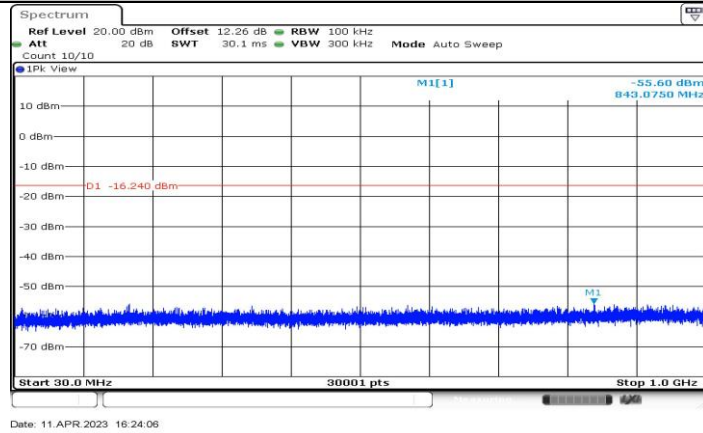


11B-CDD\_Ant4\_2462\_1000~26500

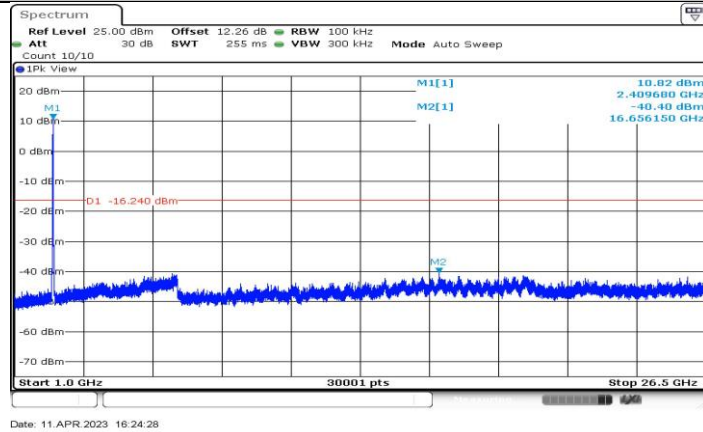




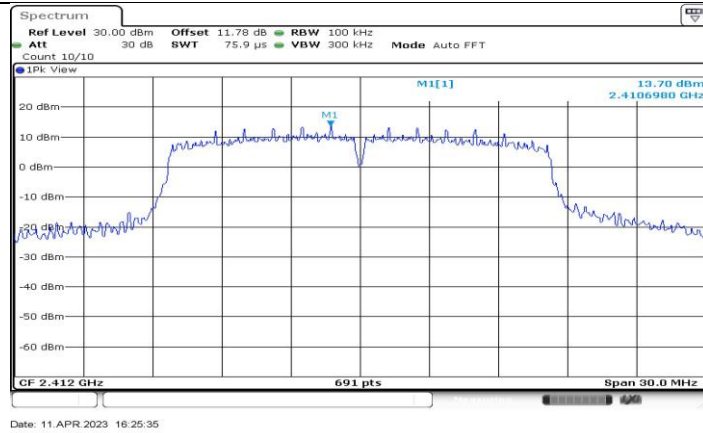
11G-CDD\_Ant2\_2412\_0~Reference



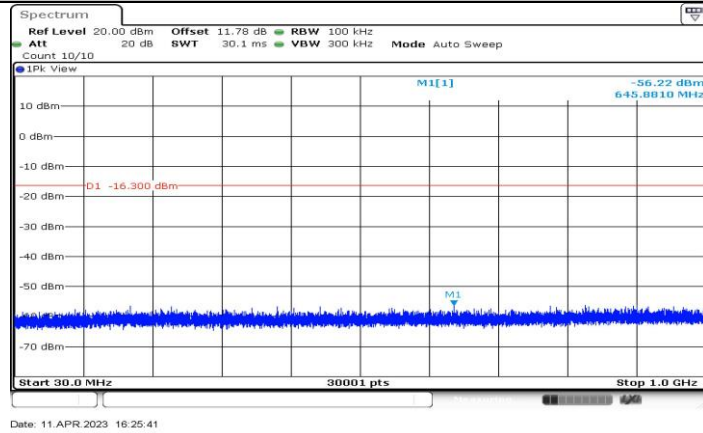
11G-CDD\_Ant2\_2412\_30~1000



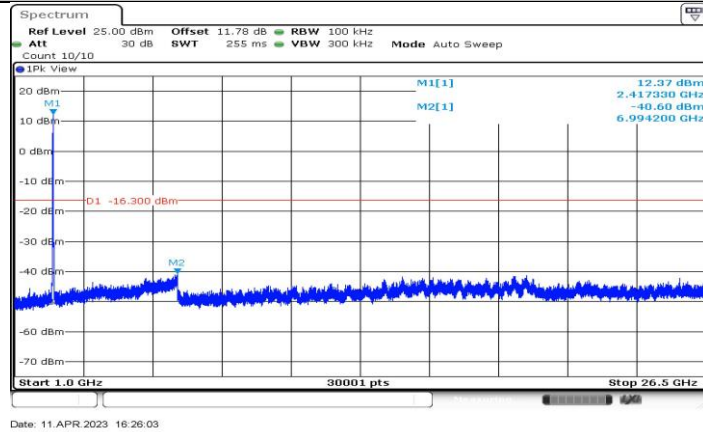
11G-CDD\_Ant2\_2412\_1000~26500



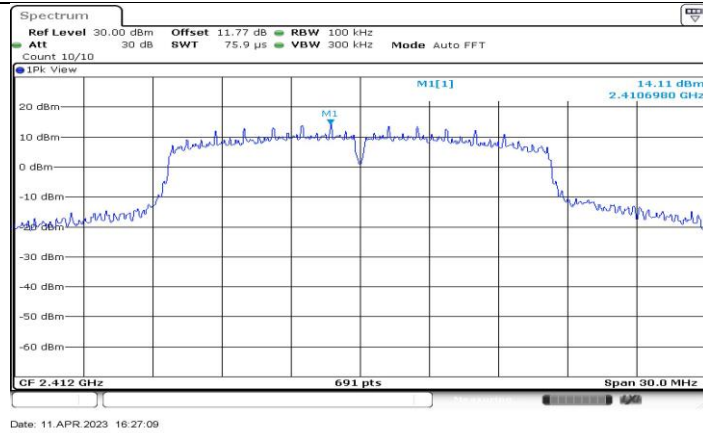
11G-CDD\_Ant3\_2412\_0~Reference



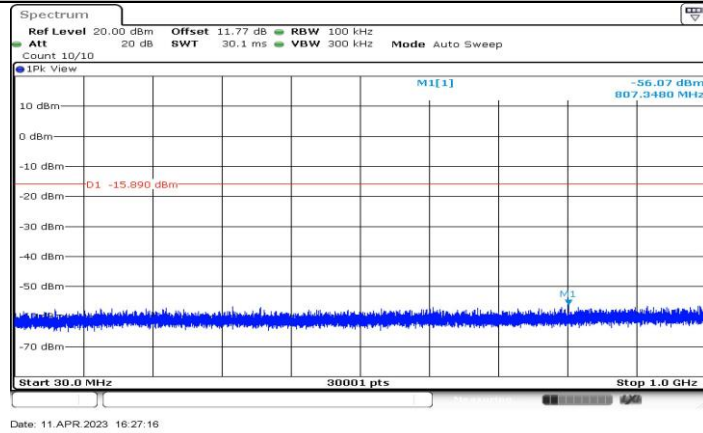
11G-CDD\_Ant3\_2412\_30~1000



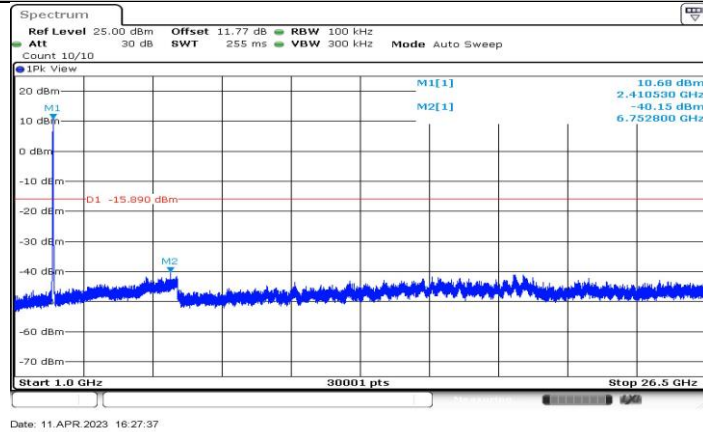
11G-CDD\_Ant3\_2412\_1000~26500



11G-CDD\_Ant4\_2412\_0~Reference

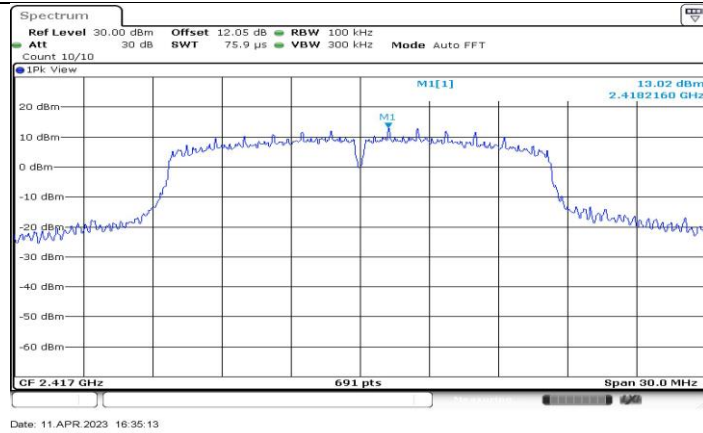


11G-CDD\_Ant4\_2412\_30~1000

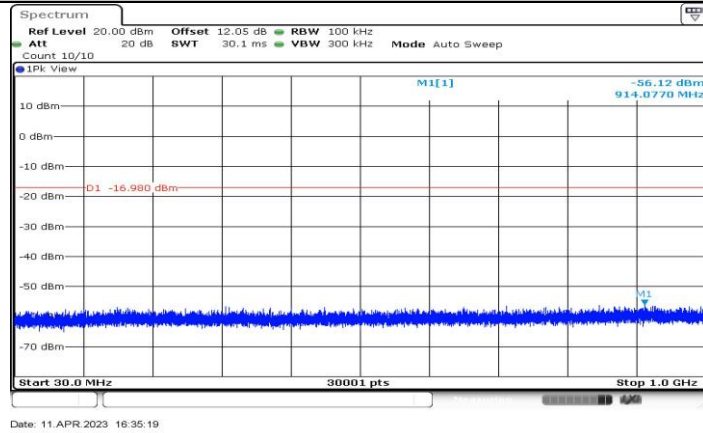


11G-CDD\_Ant4\_2412\_1000~26500

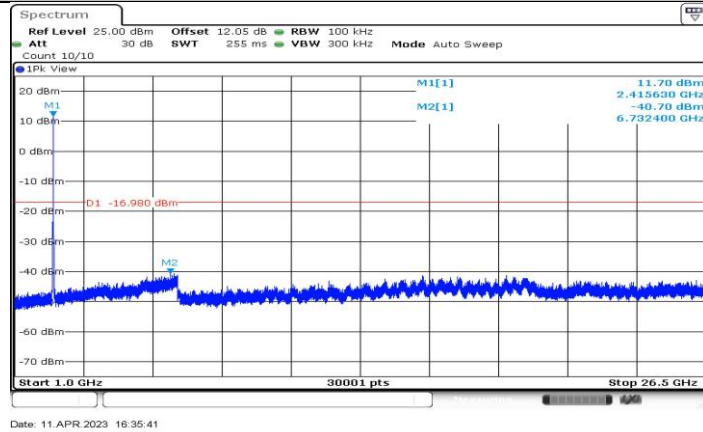




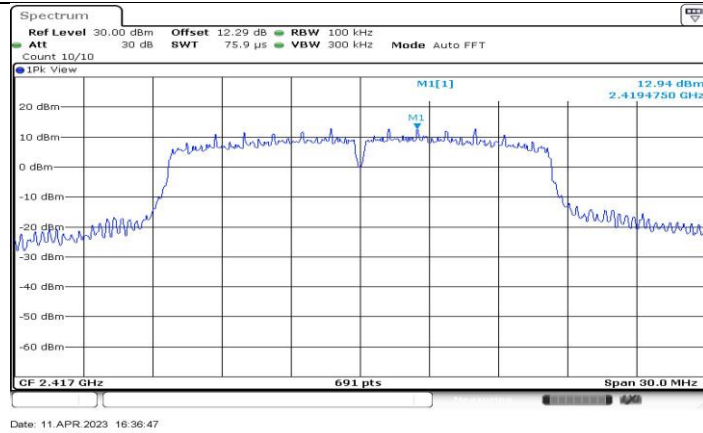
11G-CDD\_Ant1\_2417\_0~Reference



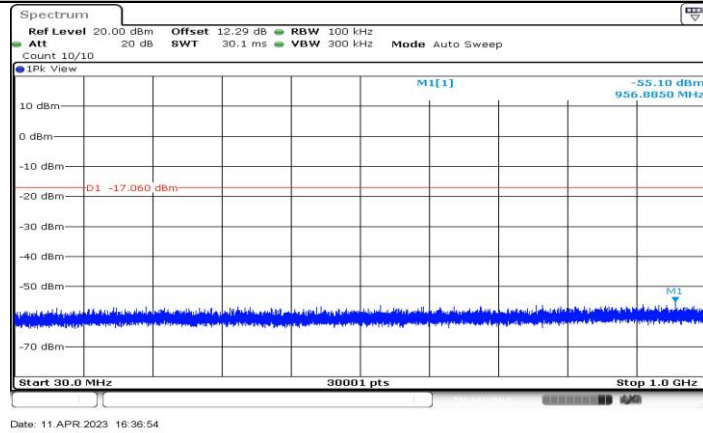
11G-CDD\_Ant1\_2417\_30~1000



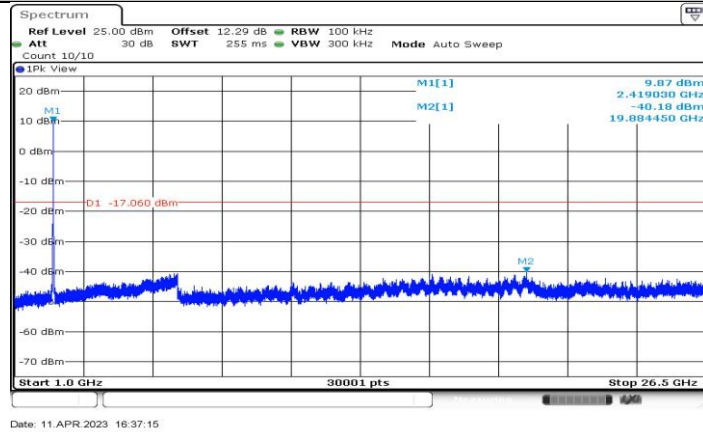
11G-CDD\_Ant1\_2417\_1000~26500



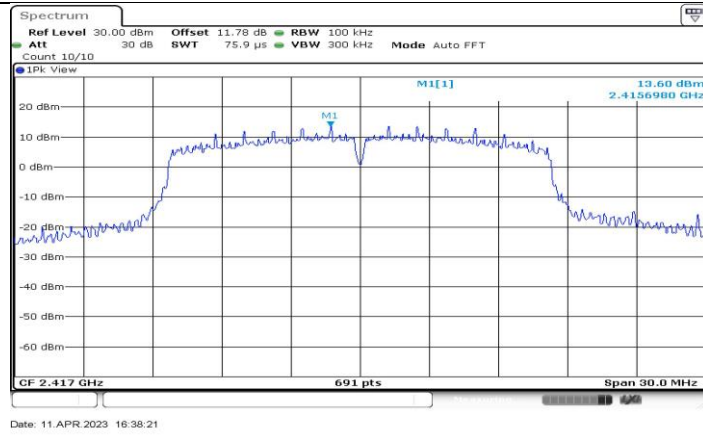
11G-CDD\_Ant2\_2417\_0~Reference



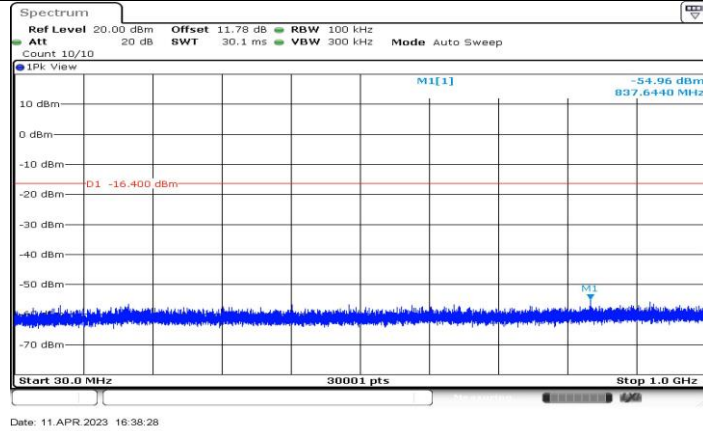
11G-CDD\_Ant2\_2417\_30~1000



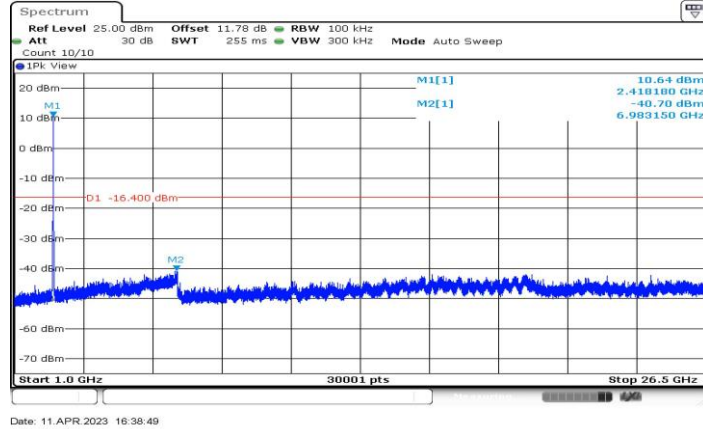
11G-CDD\_Ant2\_2417\_1000~26500



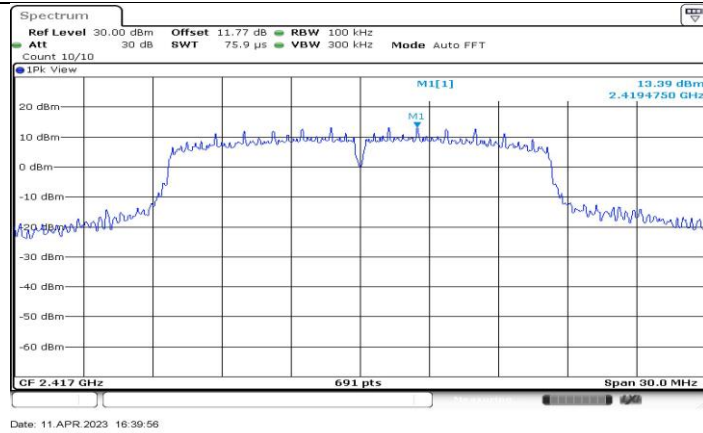
11G-CDD\_Ant3\_2417\_0~Reference



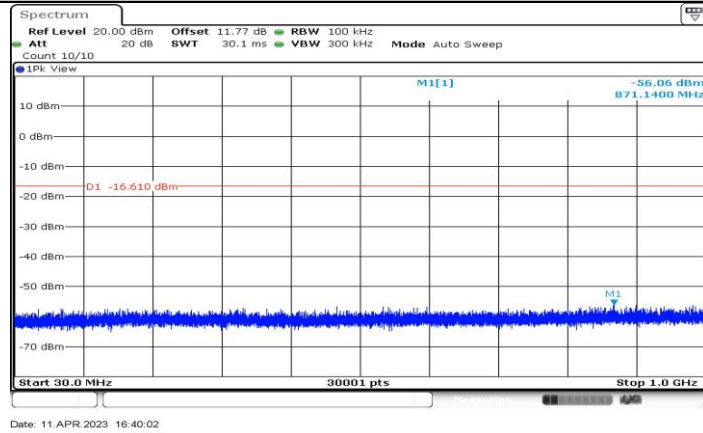
11G-CDD\_Ant3\_2417\_30~1000



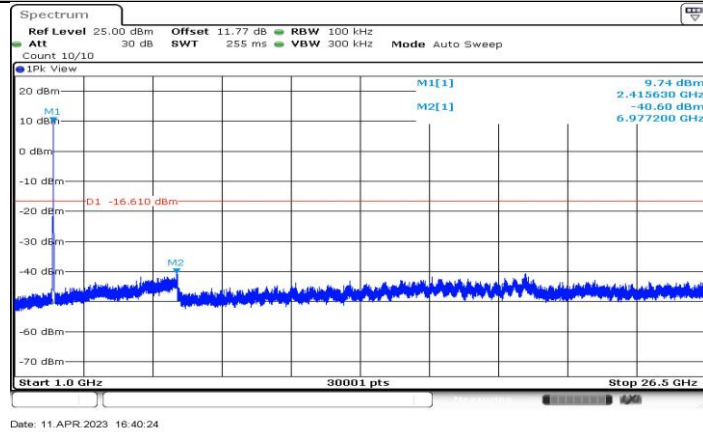
11G-CDD\_Ant3\_2417\_1000~26500



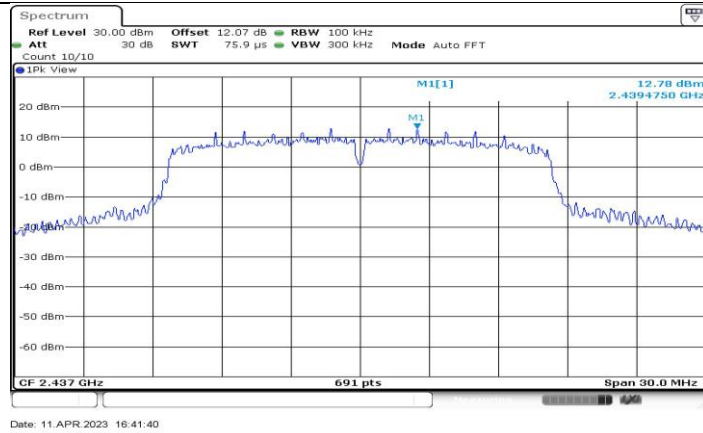
11G-CDD\_Ant4\_2417\_0~Reference



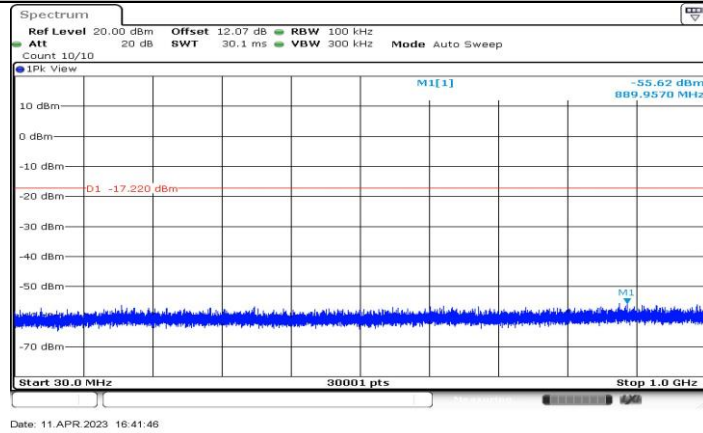
11G-CDD\_Ant4\_2417\_30~1000



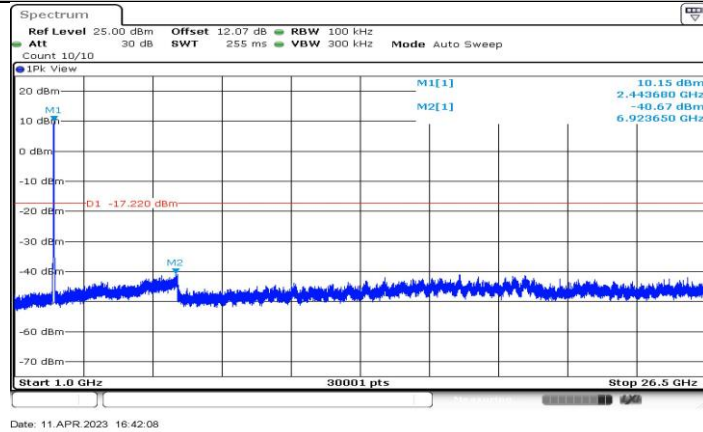
11G-CDD\_Ant4\_2417\_1000~26500



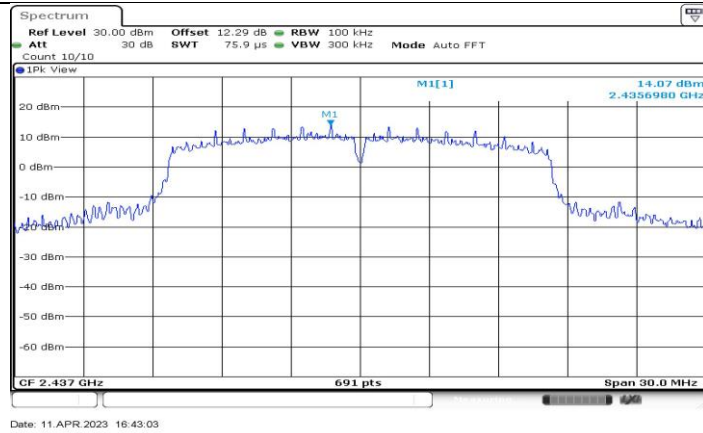
11G-CDD\_Ant1\_2437\_0~Reference



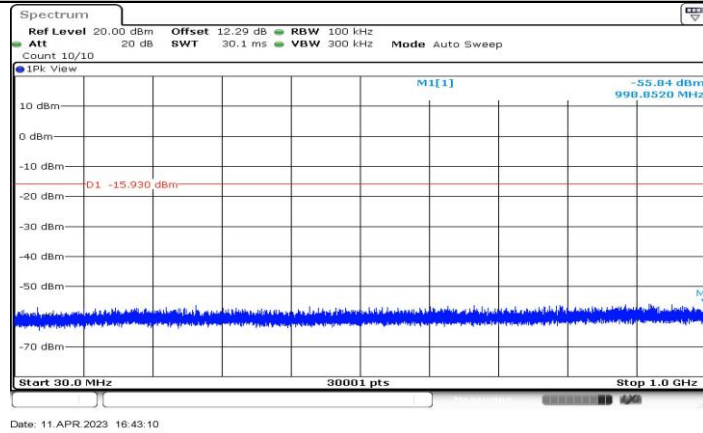
11G-CDD\_Ant1\_2437\_30~1000



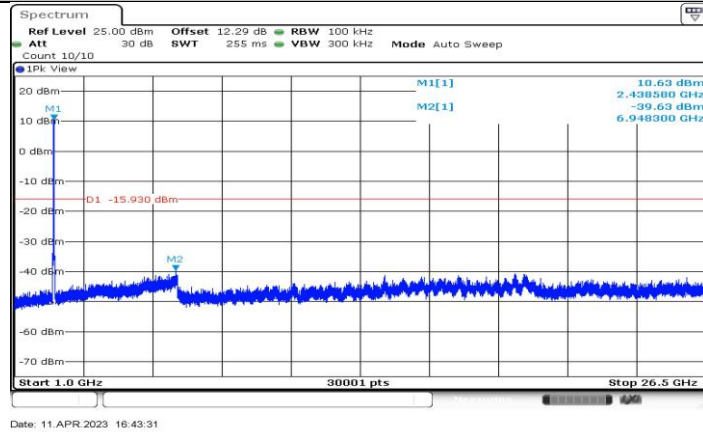
11G-CDD\_Ant1\_2437\_1000~26500



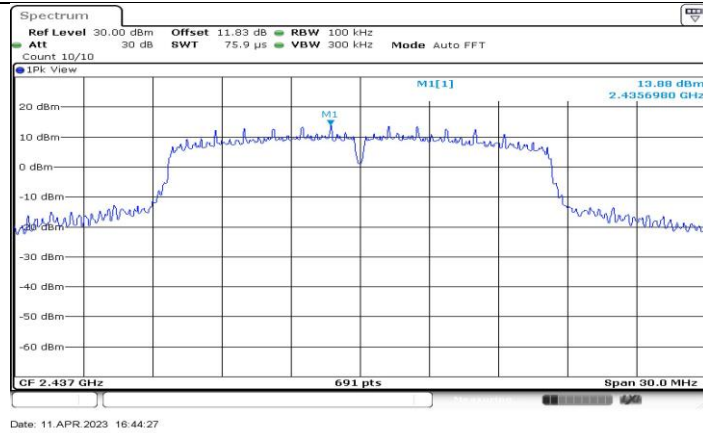
11G-CDD\_Ant2\_2437\_0~Reference



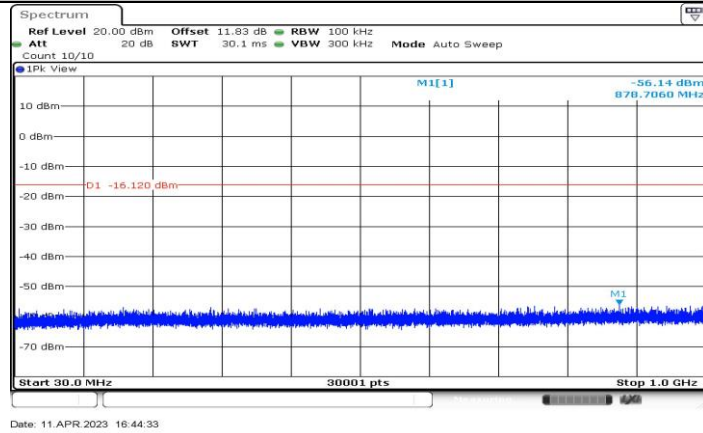
11G-CDD\_Ant2\_2437\_30~1000



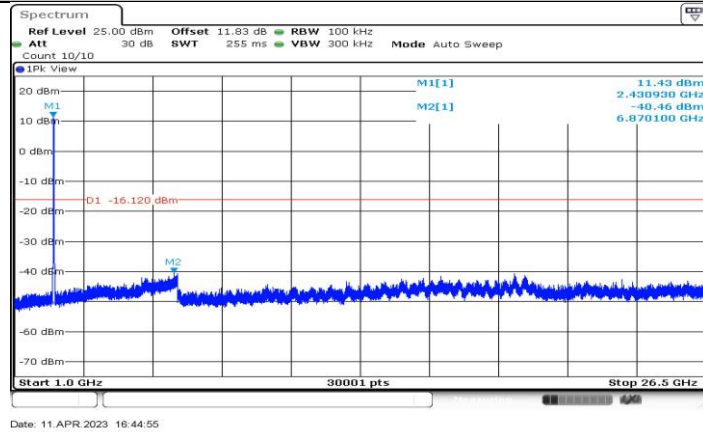
11G-CDD\_Ant2\_2437\_1000~26500



11G-CDD\_Ant3\_2437\_0~Reference

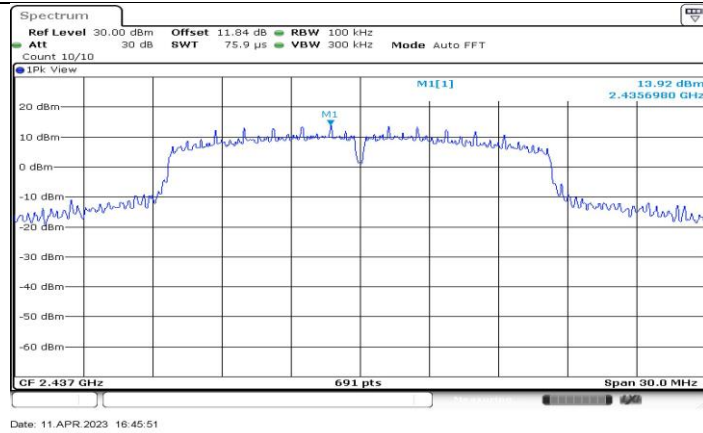


11G-CDD\_Ant3\_2437\_30~1000

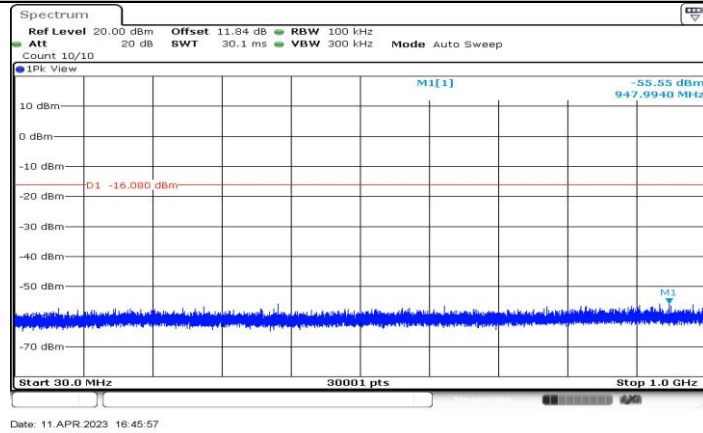


11G-CDD\_Ant3\_2437\_1000~26500

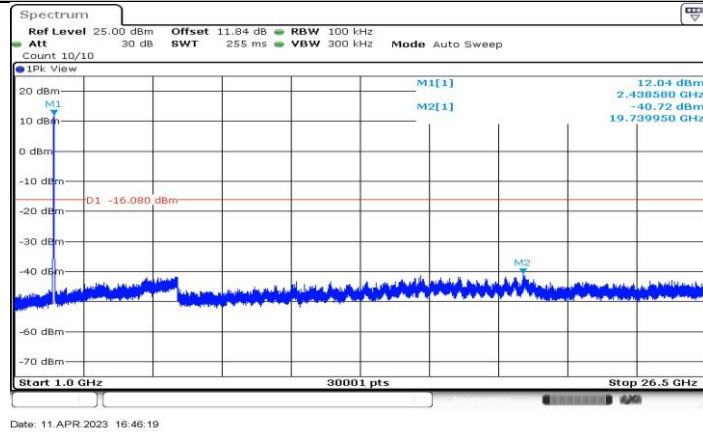




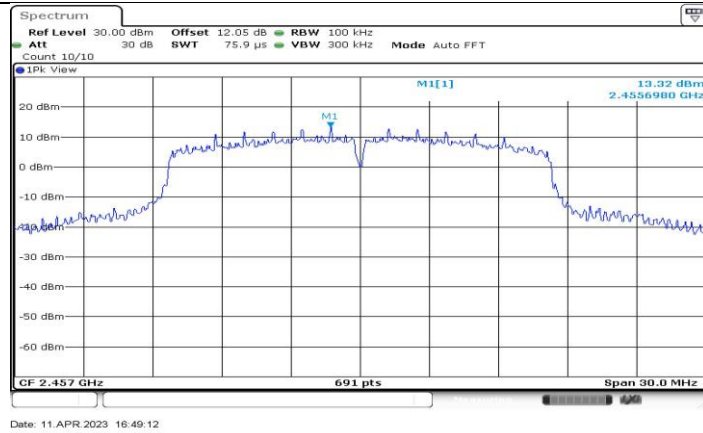
11G-CDD\_Ant4\_2437\_0~Reference



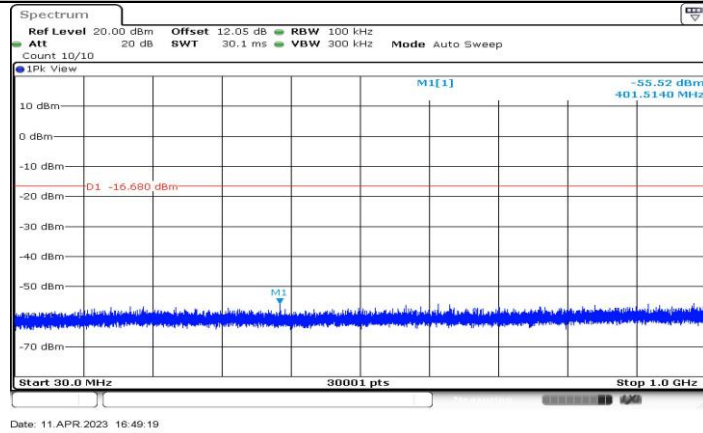
11G-CDD\_Ant4\_2437\_30~1000



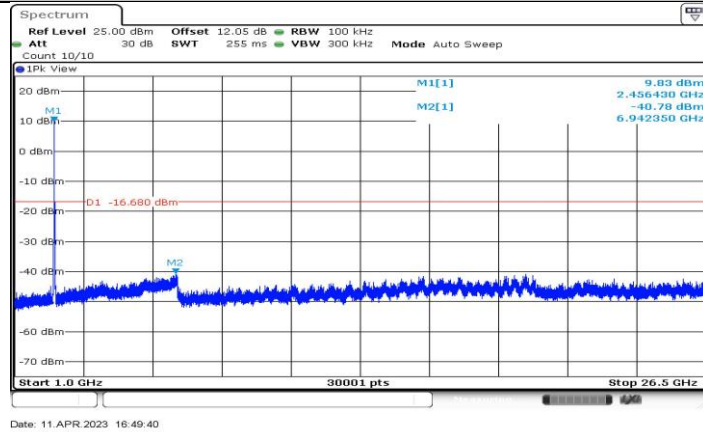
11G-CDD\_Ant4\_2437\_1000~26500



11G-CDD\_Ant1\_2457\_0~Reference



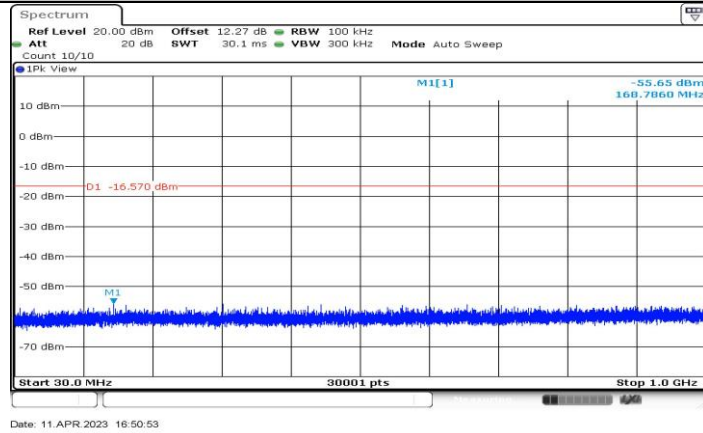
11G-CDD\_Ant1\_2457\_30~1000



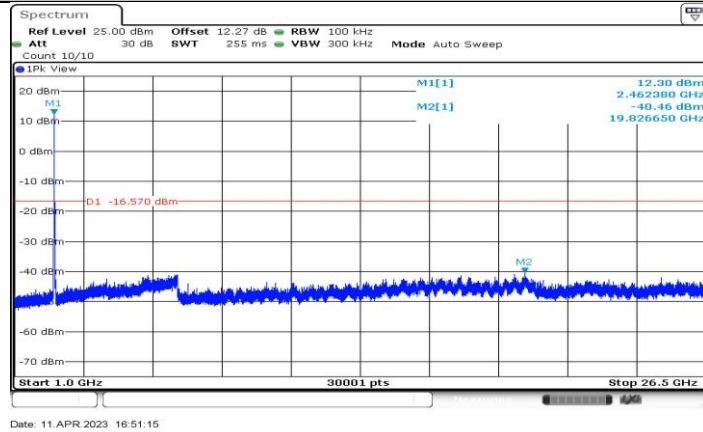
11G-CDD\_Ant1\_2457\_1000~26500



11G-CDD\_Ant2\_2457\_0~Reference



11G-CDD\_Ant2\_2457\_30~1000



11G-CDD\_Ant2\_2457\_1000~26500